

ОБЪЕДИНЕННЫЙ  
ИНСТИТУТ  
ЯДЕРНЫХ  
ИССЛЕДОВАНИЙ  
ДУБНА



К-844

"jj"  
13 - 7466

3.В.Крумштейн, Т.Семярчук, М.Шавловски

581/2-44

СПЕКТРОМЕТР НА ПОЛУПРОВОДНИКОВЫХ  
КРЕМНИЕВЫХ ДЕТЕКТОРАХ  
ДЛЯ ИЗУЧЕНИЯ КОРРЕЛЯЦИИ  
МЕЖДУ ДВУМЯ ЗАРЯЖЕННЫМИ ЧАСТИЦАМИ

**1973**

ЛАБОРАТОРИЯ ЯДЕРНЫХ ПРОБЛЕМ

13 - 7466

З.В.Крумштейн, Т.Семярчук, М.Шавловски

СПЕКТРОМЕТР НА ПОЛУПРОВОДНИКОВЫХ  
КРЕМНИЕВЫХ ДЕТЕКТОРАХ  
ДЛЯ ИЗУЧЕНИЯ КОРРЕЛЯЦИИ  
МЕЖДУ ДВУМЯ ЗАРЯЖЕННЫМИ ЧАСТИЦАМИ

Направлено в Nucleonica

Объединенный институт  
ядерных исследований  
БИБЛИОТЕКА

## **ВВЕДЕНИЕ**

Изучение корреляции в испускании пар заряженных частиц представляет большой интерес для исследования структуры ядра. Например, информация о процессах рассеяния протонов на нуклонных ассоциациях<sup>/1-3/</sup> в ядрах с измерением полной кинематики дает сведения об импульсном распределении кластеров в ядрах. Из корреляционных экспериментов можно извлечь также важные данные о нестабильных барион-барионных резонансах<sup>/4-9/</sup>, имеющие фундаментальное значение для физики нуклон-нуклонного взаимодействия. Изучение угловых и энергетических корреляций тождественных частиц, испускаемых высоковозбужденными ядрами, дает представление о пространственно-временной структуре процесса испарения<sup>/10/</sup> и т.п. Экспериментальная установка для исследования перечисленных проблем должна обладать способностью надежного и четкого разделения частиц по массам, а также возможностью многомерного и многоканального анализа событий.

В настоящей работе описывается экспериментальная установка на основе полупроводниковых кремниевых детекторов, обладающих высоким энергетическим разрешением<sup>/12,13/</sup>, удовлетворяющая этим требованиям.

## **ЭКСПЕРИМЕНТАЛЬНАЯ УСТАНОВКА**

### **Расположение аппаратуры**

Расположение экспериментальной аппаратуры показано на рис. 1. Выденный из синхроциклотрона Лаборатории ядерных проблем ОИЯИ пучок протонов с энер-

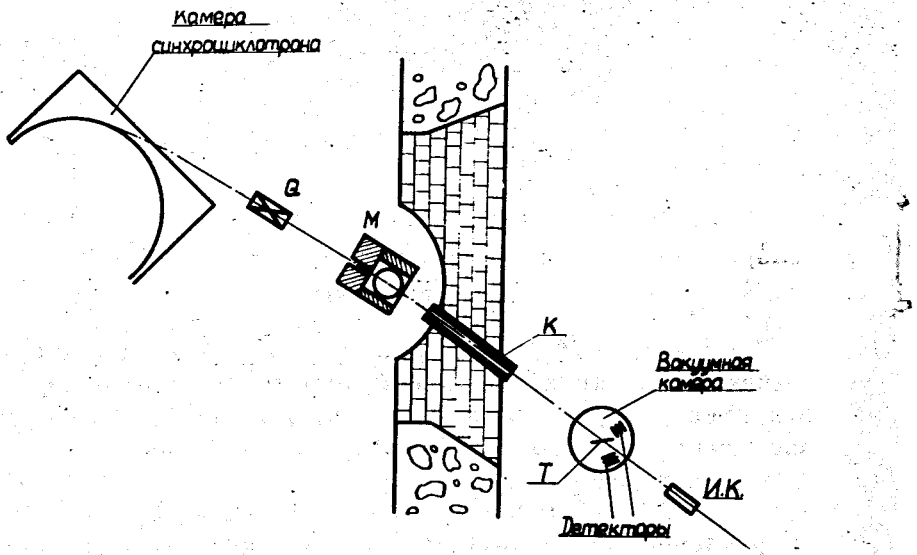


Рис. 1

гней 670 МэВ формируется с помощью квадрупольных линз  $Q$  и магнитом  $M$  отклоняется на заданное направление. Пройдя коллиматор  $K$  диаметром 10 мм в 4-метровой защитной стене, пучок попадает на мишень  $T$ , расположенную в вакуумной камере диаметром 600 мм и высотой 200 мм. Диаметр входного и выходного окон камеры составляет 70 мм. Вторичные частицы, испускаемые из мишени, регистрируются расположенными в вакуумной камере двумя телескопами из полупроводниковых детекторов. Расстояние первого детектора телескопа от мишени составляет около 200 мм. Каждый из телескопов состоит из трех полупроводниковых кремниевых детекторов ( $\Delta E_k$ ,  $E_k$ ,  $AE_k$ ). Детекторы  $\Delta E$  и  $E$  измеряют ионизационные потери и полную энергию вторичных частиц, вылетающих из мишени. Детекторы  $AE$  служат для подавления фона быстрых частиц, не останавливающихся в детекторах  $E$ . В качестве  $\Delta E$  применяются поверхностно-барьерные кремниевые детекторы. Полная энергия вторичных частиц измеряется диффузионно-дрейфовыми детекторами  $Si(Li)$ .

### Блок-схема электроники

Блок-схема электронной аппаратуры приведена на рис. 2. Выбор такого варианта продиктован необходимостью работы с большими загрузками, которые связаны с фоном в экспериментальном зале ускорителя при работе с выведенным пучком протонов, а также с макроструктурой пучка /скважность ~70/. Эти факторы накладывают жесткие требования на временное разрешение используемой аппаратуры.

Электронная аппаратура /рис. 2/ состоит из системы быстрых /временных/ и спектрометрических трактов. Во всех каналах  $\Delta E_k$ ,  $E_k$ ,  $AE_k$  используются идентичные электронные схемы и способы их включения. Сигналы с полупроводниковых детекторов поступают на зарядочувствительные предусилители, расположенные у камеры. Предусилитель имеет два выхода: спектрометрический /медленный/ и временной /быстрый/ - для амплитудного и временного анализа соответственно. Быстрый временной сигнал поступает на линейный фор-

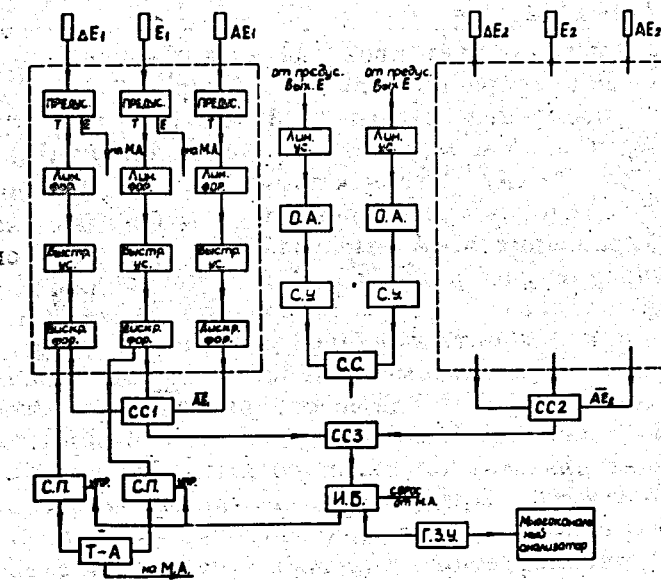


Рис. 2

мирователь /<sup>14</sup>/ RC-интегрирование и дифференцирование/, далее сигнал усиливается быстрым усилителем /БУ/ и подается на дискриминатор-формирователь, который работает по принципу дискриминации по переднему фронту импульса. Дискриминатор выдает логический сигнал /16 мана 50 ом/ и обеспечивает регулирование его длительности в пределах /10-200/  $\mu\text{сек}$ . Далее сигнал поступает на схему совпадений СС /<sup>15</sup>/ . Разрешающее время схемы совпадений определяется длительностью сигналов, поступающих на ее входы. На эти же схемы приходят сигналы антисовпадений от дискриминаторов счетчиков  $AE_k$ .

Выходные сигналы со схем СС1 /совпадения  $\Delta E_1$ ,  $E_1$ ,  $\bar{AE}_1$ / и СС2 /совпадения  $\Delta E_2$ ,  $E_2$ ,  $\bar{AE}_2$ / подаются на схему совпадений СС3; выходные сигналы схемы СС3 соответствуют совпадениям между телескопами / $t = 40 \mu\text{сек}$ ./. Сигналы со схемы СС3 используются для управления амплитудным анализатором, работающим в режиме многомерного анализа, и для управления схемами пропускания /СП/, пропускающими сигналы с дискриминаторов /ДФ1 и ДФ2/  $\Delta E_1$ ,  $E_1$ / для временного анализа. Сигналы с выходов схем пропускания подаются на времязамплифидный преобразователь /Т-А/ типа "Старт-стоп". Сигналы управления схемы СС3 блокируются схемой блокировки в течение мертвого времени многоканального анализатора /МАА/. Это исключает искажение амплитудных и временных спектров из-за перегрузок МАА. Сигнал управления МАА вырабатывается схемой генератора управляющих сигналов /ГЗУ/, которая дает возможность подобрать соответствующую задержку, амплитуду и длительность импульса управления.

Сигналы со спектрометрического выхода предусилителя, несущие амплитудную информацию, усиливаются линейным усилением и подаются на блок амплитудного преобразователя многоканального амплитудного анализатора АИ-4О96. Предусмотрена также возможность включения одноканальных анализаторов амплитуды для выделения исследуемого интервала энергетических потерь частиц. Сигнал с медленного выхода предусилителя /рис. 2/ подается на вход отдельного линейного

усилителя, а затем на одноканальный анализатор амплитуды /ОА/, который может работать в режиме интегрального дискриминатора. Логический выходной сигнал с ОА /амплитуда +5 в, длина 1 мксек/ поступает на согласователь уровня, который формирует его по амплитуде до стандарта, необходимого для работы схем совпадения. Включение одноканальных анализаторов в каналы  $\Delta E_k$  позволяет путем быстро-медленных совпадений выделять частицы с удельной ионизацией в исследуемом нами диапазоне. Дискриминация в каналах  $E_k$  дает возможность выделить только те частицы, которые находятся в исследуемом интервале энергии, и ведет к уменьшению фона и лучшему разделению частиц по массам.

## НЕКОТОРЫЕ ЭЛЕМЕНТЫ УСТАНОВКИ

### Зарядочувствительный предусилитель

Применяемые в установке зарядочувствительные предусилители должны характеризоваться широким линейным диапазоном усиливаемых сигналов /большое энерговыделение в детекторах/, хорошими временными и шумовыми свойствами, возможностью работы при больших загрузках. Обеспечение подвижности телескопов требует соединения детекторов с входом предусилителя при помощи кабеля. Это вносит дополнительную емкость на входе предусилителя, накладывая требование устойчивой и стабильной работы предусилителя при больших емкостях на входе. На рис. 3 показана схема применяемого нами предусилителя /<sup>16</sup>/ . Транзистор Т7 осуществляет положительную локальную обратную связь, что обеспечивает независимость амплитуды выходных сигналов от изменений емкости на входе предусилителя в пределах /0-150/ пФ. Сигнал для временного анализа берется с коллектора транзистора Т8.

Предусилители с использованием в первом каскаде транзисторов А508 имеют энергетическое разрешение в пределах /5-8/ кэВ  $\pm 0,03$  кэВ/пФ при  $t = 0,5 \mu\text{сек}$ .

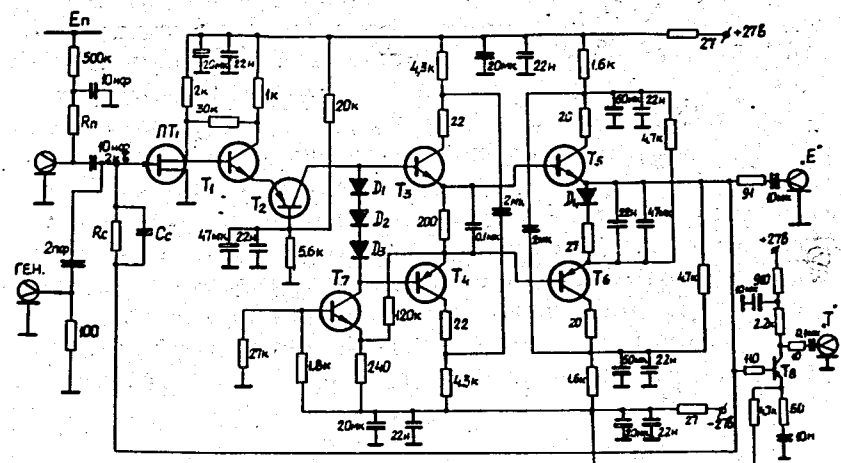


Рис. 3

Время нарастания импульса составляет 8 нсек + + 0,6 нсек/нф, линейность лучше чем 0,08% в диапазоне выходных амплитуд +5 вольт.

## Быстрый усилитель

Принципиальная схема усилителя показана на рис.4. Усилитель состоит из двух инвертирующих секций с обратной связью. Схема отличается от опубликованных [17, 18] введением в секцию усиления каскада усилителя тока /эмиттерные повторители T<sub>2</sub>, T<sub>6</sub>/ . Такое решение увеличивает усиление по току в разомкнутой петле обратной связи и понижает емкость на коллекторе транзистора T<sub>1</sub> /T<sub>5</sub>/ , что ведет к увеличению произведения усиления на полосу секции. Время нарастания усилителя составляет 3,5 нсек, коэффициент усиления 50. Входное сопротивление 100 ом  $\pm$  10%, сопротивление нагрузки 100 ом. Время задержки выходного сигнала не более 8 нсек. Интегральная нелинейность передачи при выходном сигнале не более 5 вольт и частоте следования входных сигналов не более 80 Мгц не хуже 2%.

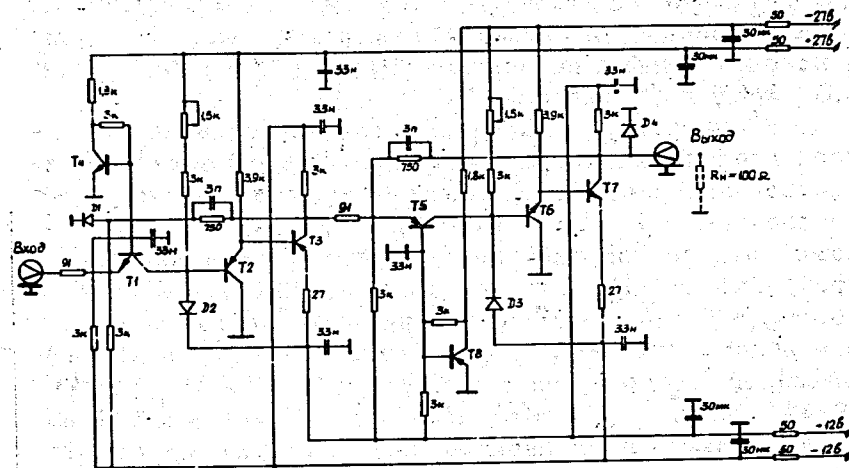


Рис. 4

# **ЭНЕРГЕТИЧЕСКОЕ И ВРЕМЕННОЕ РАЗРЕШЕНИЕ АППАРАТУРЫ, ИДЕНТИФИКАЦИЯ ЧАСТИЦ**

Измерение разрешающего времени и исследование качества разделения вторичных частиц по массам и заряду нашей установкой проводилось на пучке протонов с энергией 670 МэВ. В качестве мишней использовались пластины из Рb и Be диаметром 10мм и толщиной 1,5 мм и 200 мкм соответственно. Интенсивность протонного пучка изменялась от  $1,5 \times 10^8$  до  $4 \times 10^8$  протонов/сек и измерялась ионизационной камерой /ИК/. Во время измерения периодически определялось отношение фон/эффект /счет совпадений с мишенью и без нее/. Для бериллиевой мишени эта величина, при используемых нами интенсивностях пучка протонов, не превышала 10%.

## Энергетическое и временное разрешение аппаратуры

Энергетическое разрешение для детекторов АЕ /толщина 80-200 мкм/ было порядка /40-60/ кэВ.

для детекторов Е /толщина 3-3,5 мм/ - не хуже 100 кэВ. Энергетическое разрешение измерялось на  $\alpha$ -частицах с использованием источников  $\text{ThC} + \text{C}'(^{212}\text{Bi})$  /8,78 МэВ; 6,07 МэВ/ и  $^{238}\text{Pu}$  /5,5 МэВ/.

В настоящих экспериментах ионизационные потери вторичных частиц измерялись кремниевым поверхностно-барьерным детектором толщиной 182 мкм, поверхностью ~ 1 см<sup>2</sup> и мертвым слоем < 1,5 мкм. Для измерений полной энергии Е применялся диффузионно-дрейфовый Si(Li) детектор толщиной 3,5 мм и поверхностью ~ 2 см<sup>2</sup>. Диапазон измеряемых энергий протонов, дейtronов, тритонов и  $\alpha$ -частиц, обусловленный толщиной детекторов, был равен: р: /5-25/ МэВ; d: /9-34/ МэВ; t: /13-40/ МэВ;  $\alpha$ : /19-93/ МэВ. В основных измерениях одноканальные анализаторы в спектрометрических трактах не использовались.

Схема измерения временного разрешения аппаратуры показана на рис. 2. Телескоп из детекторов  $\Delta E$ , Е был расположен под углом ~90° к оси пучка. На старт Т-А подавался сигнал со схемы пропускания канала  $\Delta E$ , на стоп - сигнал со схемы пропускания канала Е. Измерения проводились в режиме одномерного анализа и двухмерного анализа: время - энергия, выделенная в детекторе Е. На рис. 5 приведены спектры временного разрешения телескопа в полном интервале потерь энергии /черные точки/ и два спектра, полученных при двухмерном анализе, соответствующие выделения энергии в детекторе в интервалах: /7,7-8,4/ МэВ /светлые точки/ и /17,5-18,2/ МэВ /крестики/.

Видна сильная асимметрия временного спектра в полном диапазоне потерь энергии частиц /хвост в сторону больших времен/. Этот эффект связан с собиранием заряда в дрейфовом плоском детекторе Е и применяемым нами методом временной привязки по переднему фронту импульса. Полная ширина на полувысоте спектра составляет 7,7 нсек, а на десятипроцентном уровне - 17 нсек. Из этого следует, что выбранное нами разрешающее время схем совпадений  $\tau = 40$  нсек дает эффективные совпадения в исследуемом диапазоне энергий. Это подтверждается и тем, что величина счета совпадений

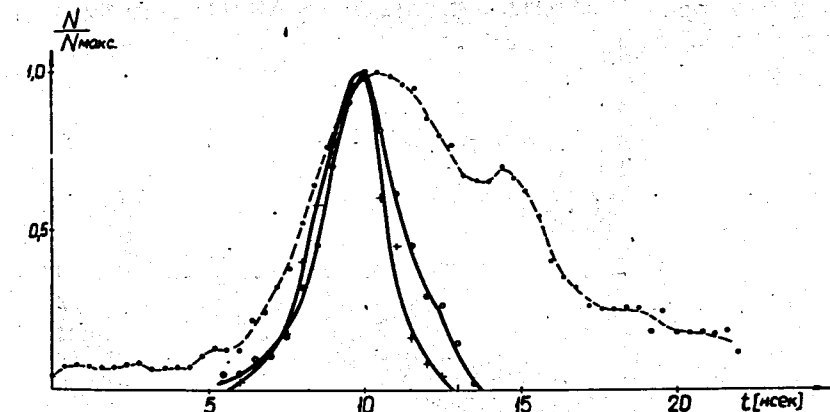


Рис. 5

$(N - N_{\text{случ}})$  не изменялась при увеличении разрешающего времени схем совпадений /более 40 нсек/. Временное разрешение, измеренное в узком диапазоне энергии, равно 2,7 нсек для диапазона энергий /7,7-8,4/ МэВ и 2,4 нсек для диапазона энергий /17,5-18,2/ МэВ. Из полученных данных следует, что уширение интегрально-го временного спектра связано с разбросом энергий, выделяемых частицами в детекторе Е. Поэтому целесообразно применять другой метод временной привязки, компенсирующий влияние амплитудного разброса и изменения фронта импульсов /19/.

#### Идентификация частиц

На рис. 6а показан двухмерный спектр вторичных частиц в переменных Е- $\Delta E$ ,  $\Delta E$ , полученный при облучении мишени из свинца. На спектре видно, что события группируются в трех областях плоскости Е- $\Delta E$ ,  $\Delta E$ , соответствующих протонам, дейtronам и ядрам трития. Данные этих же измерений показаны на рис. 6б, на котором приведена зависимость выхода вторичных частиц от величины Е- $\Delta E$ , являющейся функцией заряда и массы частицы. Из этого рисунка видно, что пики, соответствующие протонам, дейtronам и ядрам трития,

Рис. 6 /а/

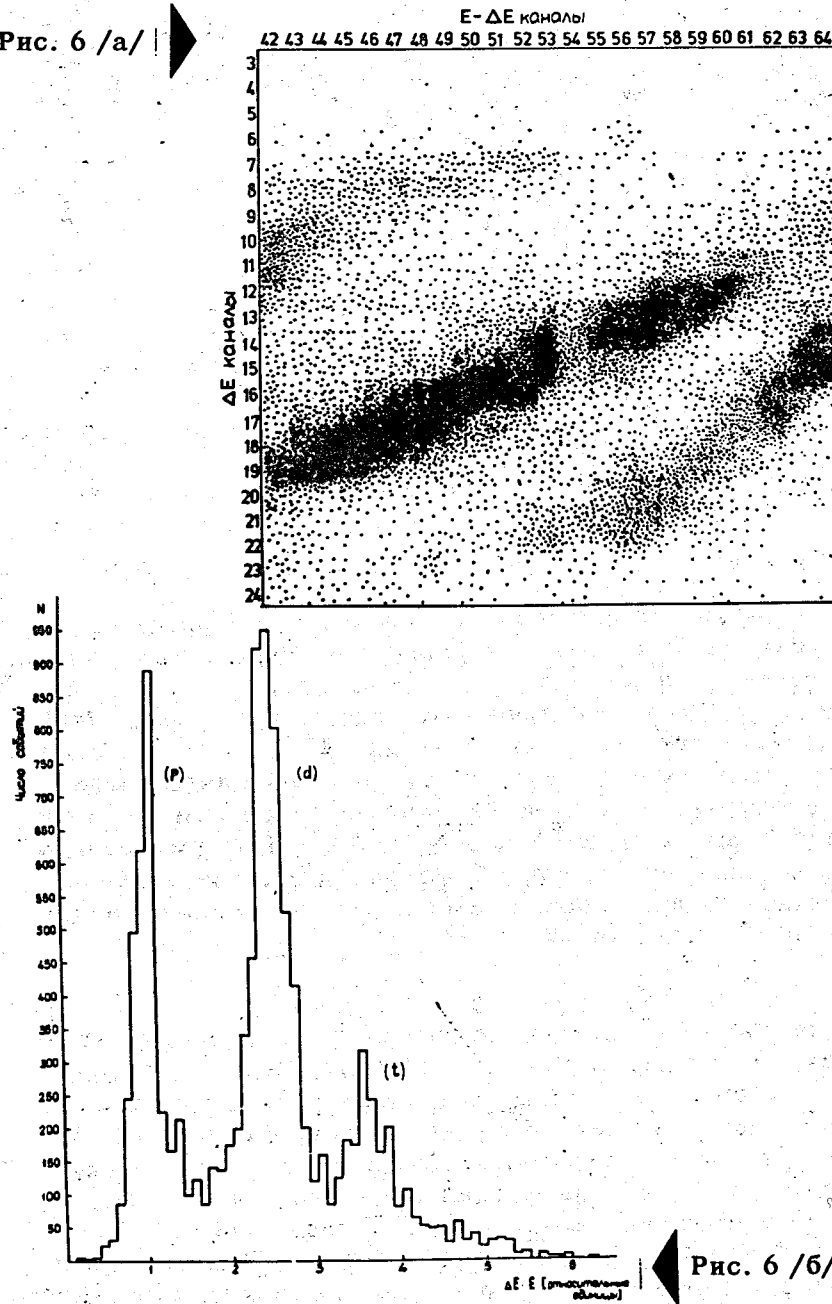


Рис. 6 /б/

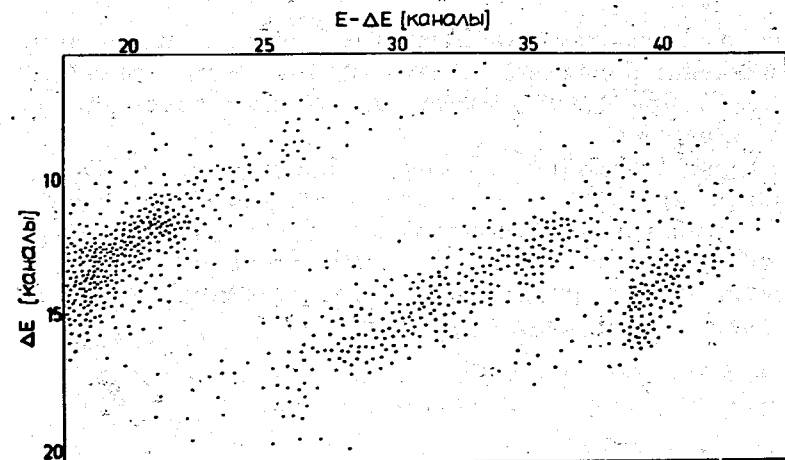


Рис. 7/а/

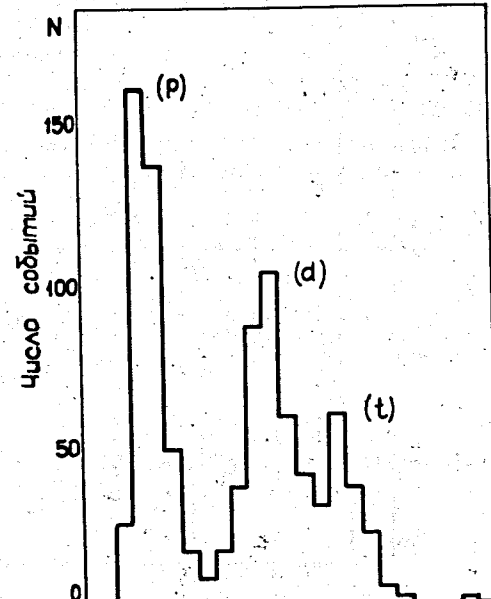


Рис. 7/б/

$\Delta E \cdot E$  [относительные единицы]

хорошо разделяются. Аналогичные спектры, полученные при облучении бериллиевой мишени, показаны на рис.7а,б. На рис. 8 приведен спектр, на котором присутствует пик от  $\alpha$ -частиц.

Авторы выражают глубокую благодарность проф. П.Зелинскому /Институт ядерных исследований в Варшаве/ и В.И.Петрухину за поддержку и постоянный интерес к работе, а также Б.Мадейчик /Варшавский политехнический институт/ за изготовление поверхности-барьерных кремниевых детекторов.

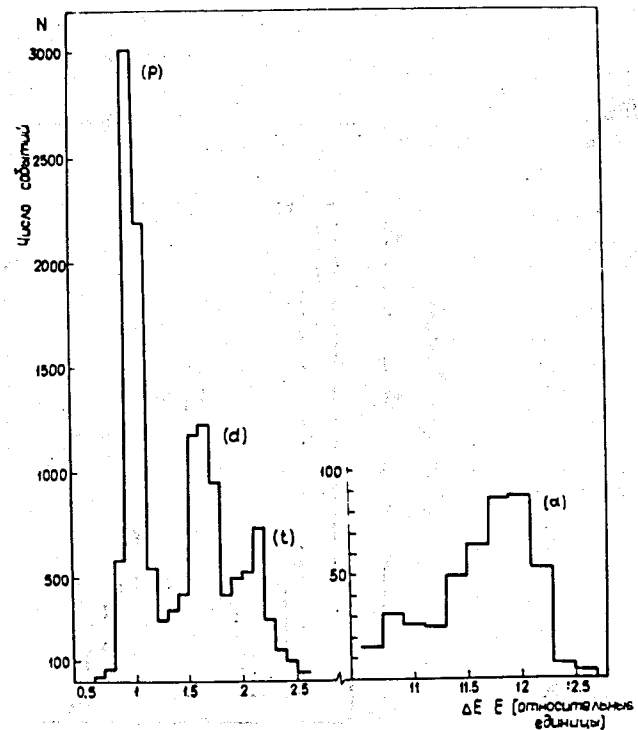


Рис. 8

## Литература

1. Л.С.Ажгирей, И.К.Взоров, В.П.Зрелов, М.Г.Мещеряков, Б.С.Неганов, А.Ф.Шабудин. ЖЭТФ, 33, 1185 /1957/.
2. R.J.Sutter, J.L.Friede, H.Palevsky, G.W.Bennet, C.J.Igo, W.D.Simpson, G.C.Phillips, D.M.Corley, N.S.Wall, P.L.Stearns. Phys.Rev.Lett., 19, 1189 /1967/.
3. Л.С.Ажгирей, О.Д.Далькаров, З.В.Крумштейн, Ю.П.Мереков, З.Мороз, Нго Куанг Зуй, В.И.Петрухин, А.И.Ронжин, Г.А.Шелков, З.Цисек. Препринт ОИЯИ, Р1-6308, Дубна, 1972.
4. T.Siemiarczuk and P.Zelinski. Phys.Lett., 24B, 675 /1967/.
5. С.А.Азимов, М.Азимова, К.Р.Игамбердиев, Х.А.Рицаев, А.А.Юлдашев. Доклады Академии наук УзССР, 11, 25 /1970/.
6. Р.Я.Зулькарнеев, А.М.Розанова. Препринт ОИЯИ, Р2-5058, Дубна, 1970.
7. И.С.Шапиро. Труды школы по физике высоких энергий, ЛФТИ, Л. /1969/.
8. F.Y.Dyson, Nguen-Huu Xuong. Phys.Rev.Lett., 3, 815 /1964/.
9. W.Gale, I.Duck. Nucl.Phys., B8, 109 /1968/.
10. Г.И.Копылов, М.И.Подгорецкий. Препринт ОИЯИ, Р4-5927, Дубна, 1971.
11. F.S.Goulding et al. Nucl. Instr. & Meth., 31, 1 /1964/.
12. W.L.Hausen and B.V.Jarrett. Nucl. Instr. & Meth., 31, 301 /1964/.
13. H.J.Langmann and O.Meyer. Nucl.Instr. & Meth., 30, 135 /1964/.
14. В.Ф.Борейко, Ю.Г.Будяшов, Ю.М.Валуев, В.М.Гребенюк, В.Г.Зинов, Б.С.Краснобородов. Препринт ОИЯИ, 13-6396, Дубна, 1972.
15. З.Цисек. Препринт ОИЯИ, 13-5723, Дубна, 1971.
16. N.W.Hill and W.P.Albritton. Nucl.Instr.&Meth., 75, 18 /1969/.
17. Ch.J.Rush. Rev.Scient.Instrum., 35, 149 /1964/.
18. С.Г.Басиладзе. Препринт ОИЯИ, 13-5413, Дубна, 1970.
19. A.Hofmann, G.Philipp, K.Thomas and F.Vogler. Nucl. Instr. & Meth., 101, 467 /1972/.

Рукопись поступила в издательский отдел  
28 сентября 1973 года.